

(491) タービンケーシング用Cr-MoおよびCr-Mo-V鉄鋼のクリープ変形特性

神戸製鋼所 中央研究所 太田定雄 内田博幸

○猪狩 哲 藤原優行(現動燃)

1 緒言 Cr-MoおよびCr-Mo-V鉄鋼は蒸気タービンケーシングに広く使用されているが、著者らはすでにこれら鉄鋼のクリープ破断特性を調べ、組織との関連について検討し報告した。本報告では、これら鉄鋼のクリープ変形の活性化エネルギー、クリープ速度の応力依存性、クリープ速度と破断時間の関係および組織変化を調べ、クリープ変形の機構について考察した。

2 実験方法 供試材の化学成分をTable 1に示す。溶解法および熱処理は前報と同じである。 500°C , 550°C , 600°C と 650°C でクリープ試験を行ない定

常クリープ速度を測定し、また、破断後の試験片を電顕薄膜法で観察した。

3 実験結果 500°C の場合、同一応力下で $1\frac{1}{4}\text{Cr}-1\text{Mo}$ 、 $1\frac{1}{4}\text{Cr}-1\text{Mo}-\frac{1}{4}\text{V}$ 鋼の定常クリープ速度が最も小さく、 $1\frac{1}{4}\text{Cr}-1\text{Mo}$ 、 $1\frac{1}{4}\text{Cr}-1\text{Mo}-0.1\text{V}$ および $2\frac{1}{4}\text{Cr}-1\text{Mo}$ 鋼はほぼ同じ定常クリープ速度を示す。

$550^{\circ}\text{C} \sim 650^{\circ}\text{C}$ では $1\frac{1}{4}\text{Cr}-1\text{Mo}-\frac{1}{4}\text{V}$ 鋼のクリープ速度が最も小さく、又 $1\frac{1}{4}\text{Cr}-1\text{Mo}$ 鋼と $1\frac{1}{4}\text{Cr}-1\text{Mo}-0.1\text{V}$ 鋼は前鋼よりも速度が大きいとともにほぼ同じ速度を示すが、 $2\frac{1}{4}\text{Cr}-1\text{Mo}$ 鋼のクリープ速度はやや大きくなる。応力指数は鋼種間の差が小さく、6~8.5であり(Fig. 1)純鉄の場合の4.5~8.3に近い値となる。

また、各温度での定常クリープ速度から求めたクリープの見かけの活性化エネルギーは鋼種間の差が見られず、55~66 Kcal/modelになり(Fig. 2)、この値は純鉄の自己拡散の活性化エネルギーには等しい。定常クリープと破断時間には、Monkman-Grantの関係が成立し、鋼種の差にかかわらず、ほぼ同一のバンド内に入っている。

組織は、熱処理時は転位密度が非常に高いラス構造であるが、クリープ中に転位密度が徐々に減少し、長時間では明瞭なセル構造に変る。

以上の結果から、これらの鋼種では、熱処理で導入された高密度の転位がクリープ変形に対する主要な障害となっており、回復による転位密度の減少がクリープ変形を律速していると考えられる。

参考文献 1) 太田ほか: 鉄と鋼

67(1980) S 444

Table 1 Chemical Composition (%)

STEEL	C	Si	Mn	P	S	Cr	Mo	V
$1\frac{1}{4}\text{Cr}-1\text{Mo}$	0.16	0.42	0.82	0.009	0.009	1.28	1.00	—
$1\frac{1}{4}\text{Cr}-1\text{Mo}-0.1\text{V}$	0.18	0.38	0.77	0.010	0.010	1.40	1.12	0.11
$1\frac{1}{4}\text{Cr}-1\text{Mo}-\frac{1}{4}\text{V}$	0.15	0.38	0.81	0.009	0.010	1.17	0.95	0.26
$2\frac{1}{4}\text{Cr}-1\text{Mo}$	0.16	0.40	0.76	0.010	0.008	2.21	1.00	—

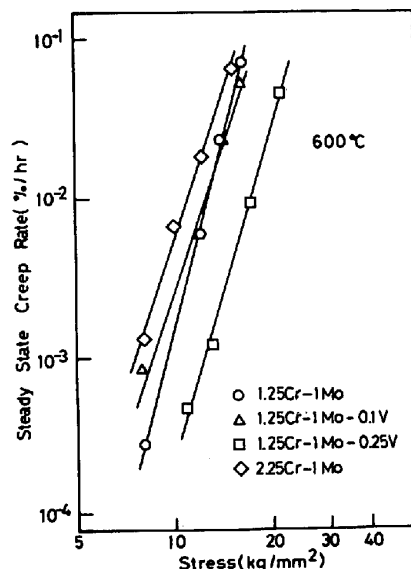
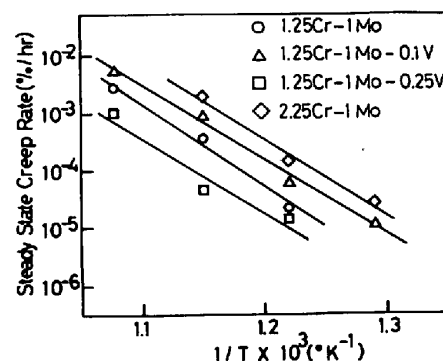


Fig. 1 Steady State Creep Rate - Stress Curve

Fig. 2 Relationship between Steady State Creep Rate and $1/T$